

استخراج هیدروگراف واحد لحظه‌ای (IUH) با استفاده از تئوری آنتروپی شانون

محمدعلی قربانی^۱، حکیمه اسدی^۲، حسین جباری خامنه‌ای^۳ و داود فرسادی زاده^۴

۱- دانشیار، دانشگاه تبریز، (نویسنده مسؤول: ghorbani@tabrizu.ac.ir)

۲، ۳ و ۴- دانشجوی کارشناسی ارشد، استادیار و دانشیار، دانشگاه تبریز

تاریخ پذیرش: ۹۲/۷/۸ تاریخ دریافت: ۹۲/۱/۲۸

چکیده

هیدروگراف واحد لحظه‌ای یا (IUH) هیدروگراف رواناب سطحی حوزه‌های آبخیز مورد استفاده قرار گرفته و اخیراً علاوه بر روش‌های مرسوم، تئوری آنتروپی شانون جهت محاسبه آن مورد توجه قرار گرفته است. اگر آنتروپی معیاری از میزان آشفتگی یک سیستم تعريف شود، آنگاه شاخص آنتروپی احتمال وقوع یک رخداد را بیان خواهد نمود. در این تئوری با تعريف زمان‌های پیمایش حوزه آبخیز به عنوان متغیر تصادفی و ماکزیمم نمودن رابطه آنتروپی بر اساس این پارامتر و همچنین لحاظ نمودن قیودها، میزان حداقل اریب تابع توزیع احتمالاتی و پارامترهای IUH حاصل گردیده و نهایتاً معادله کاربردی IUH بدست می‌آید. در این مطالعه شش رویداد از حوزه معرف آبخیز لیقوان واقع در شمال غرب کشور مورد بررسی قرار گرفته است. پس از محاسبه زمان پیمایش و تعیین پارامترهای IUH بر اساس تئوری آنتروپی، معادله (IUH) کاربردی استخراج و نهایتاً هیدروگراف رواناب مستقیم محاسبه گردید. جهت بررسی بیشتر نیز از روش هیدروگراف واحد ناش جهت برآورد IUH و هیدروگراف رواناب مستقیم استفاده شد. نتایج گویای عملکرد قابل قبول روش آنتروپی با میانگین خطای اوج ۱۷/۳۵ درصد، متوسط ضریب همبستگی ۰/۸۲۸، شاخص آنتروپی ۴۷/۲ نات و ضریب نش-ساتکلیف ۷۴۲/۰ می‌باشد.

واژه‌های کلیدی: هیدروگراف واحد لحظه‌ای، آنتروپی شانون، روش هیدروگراف واحد ناش، حوزه آبخیز لیقوان

می‌توان به روش‌های تبدیل لایپلاس، تبدیل فوریه (۱۷,۵)، روش‌های هیدروگراف واحد مصنوعی (۲۳,۲۲,۵,۲)، روش‌های مبتنی بر تئوری سیستم‌های خطی (۱۲,۳)، روش‌های تلفیق تئوری سیستم‌های خطی با ژئومورفولوژیکی (۱۵,۶) و روش‌های بر مبنای

مقدمه

طبق تعريف، هیدروگراف واحد لحظه‌ای^۱ (IUH) هیدروگراف حاصل از بارشی به عمق واحد در یک مدت زمان بسیار کوتاه می‌باشد (۱۰). روش‌های متعددی جهت استخراج (IUH) وجود دارد که از آن جمله

را از طریق اطلاعات مشخصی از حوزه معین نمود. هدف از این مطالعه استفاده از این تئوری برای استخراج معادله عمومی (*IUH*) بر اساس اطلاعات محدود معین و برآورد هیدروگراف‌های واحد لحظه‌ای و سیلاب‌ها در حوزه آبخیز معرف لیقوان واقع در شمال‌غرب ایران و مقایسه آن بانتایج روش مرسوم هیدروگراف واحد ناش می‌باشد.

مواد و روش‌ها مفهوم آنتروپی

شانون (۱۶) مفهوم اطلاعات علمی یا آنتروپی اطلاعاتی را تحت عنوان آنتروپی شانون معرفی کرد. آنتروپی را می‌توان به عنوان معیاری از میزان آشفتگی در داخل یک سیستم تعریف نمود. وجود اطلاعات مشخص در یک مسئله که سبب کاهش و یا از بین رفتن عدم قطعیت می‌گردد، می‌تواند بعنوان یک شاخصی در فرمول‌بندی آنتروپی استفاده شود. این شاخص برای یک توزیع احتمالاتی داده می‌شود:

$$H(p_1, p_2, \dots, p_N) = -\sum_{i=1}^N p_i \log_b p_i \quad (1)$$

که در آن p_1, p_2, \dots, p_N مقادیر احتمال برای N پیشامد از یک آزمایش تصادفی با مقادیر $(x_i, i = 1, 2, \dots, N)$ از متغیر تصادفی X می‌باشد. محتمل‌ترین حالت آماری متناظر با ماکریم آنتروپی است، بنابراین توزیع‌های احتمالاتی انتخاب شده بایستی سازگار با اطلاعات مفروض باشد. مطابق اصل ماکریم آنتروپی (*POME*)^۱، ماکریم آنتروپی

معادلات جبری یا توابع توزیع احتمالاتی اشاره نمود (۲۴، ۱۴، ۱۱، ۹، ۱). اخیراً وی پی‌سینگ (۲۱) از تئوری آنتروپی جهت استخراج (*IUH*) در دو حوزه واقع در هاستینگ، نبراسکا استفاده و با فرض زمان پیمایش به عنوان یک متغیر تصادفی، یک معادله عمومی برای (*IUH*) استخراج کرد. مقایسه هیدروگراف‌های رواناب سطحی محاسباتی بر اساس معادله (*IUH*) با هیدروگراف‌های مشاهداتی حاکی از دقیقت قابل قبول در شبیه‌سازی هیدروگراف واحد لحظه‌ای و سیلاب‌ها دارد.

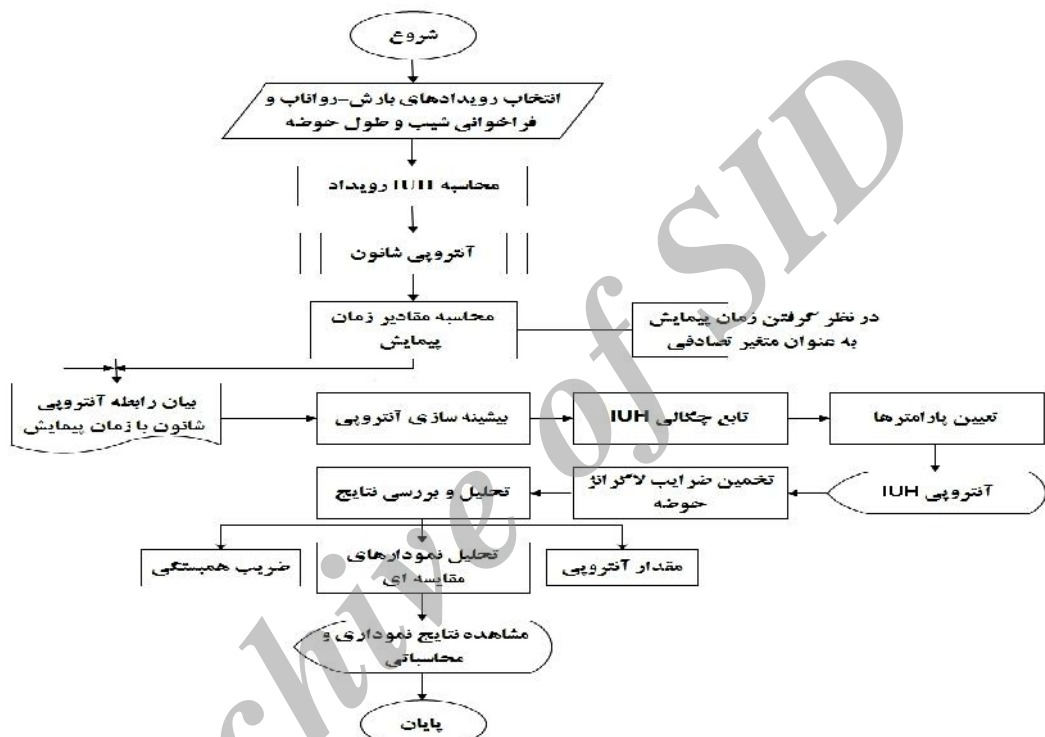
آنتروپی شانون و یا آنتروپی اطلاعی یک معیار کمی از عدم قطعیت وابسته به یک توزیع احتمال یا مفهوم اطلاعات از توزیع بر حسب آنتروپی است که در بخش مواد و روش‌ها مفصل‌بحث شده است. از لحاظ تاریخ کاربرد آنتروپی در منابع آب و محیط زیست، سینگ و فیورنتینو (۱۸)، سینگ (۱۹) و هارمان چگلو و سینگ (۸) استفاده از آنتروپی در منابع آب را مطرح گردیده است. همچنین سینگ (۲۰) از تئوری آنتروپی برای فرموله نمودن حرکت عمودی و یک بعدی رطوبت در خاک غیراشبع استفاده نموده است هاوو و سینگ (۷) با استفاده از تئوری آنتروپی روش جدیدی برای شبیه‌سازی جریان ماهانه حوزه آبخیز کلرادو به کار برده، که نتایج قابل قبولی بدست داده است. استفاده از تئوری آنتروپی در (*IUH*) دو مزیت اساسی دارد نخست اینکه، این تئوری توانایی ارتباط دادن حالت کمی عدم قطعیت به یک فرم خاص از (*IUH*) را دارا می‌باشد، دوم، می‌توان پارامترهای (*IUH*)

۱- Principle of Maximum Entropy

آنتروپی نات بوده و به معنی استفاده از لگاریتم طبیعی در پایه لگاریتم رابطه (۱) می‌باشد.

الگوریتم استخراج (IUH) با آنتروپی شanon الگوریتم استخراج هیدروگراف واحد لحظه‌ای (IUH) با استفاده از تئوری آنتروپی، در فلوچارت زیر نشان داده شده است:

اطلاعات مفروض مربوط به حداقل اریب احتمالاتی است، یعنی *POME* در فرآیند محاسبات، همه اطلاعات معلوم را در نظر گرفته و از لحاظ نمودن هر نوع اطلاعات نامعلوم اجتناب می‌کند. بنابراین ترکیب مفهوم آنتروپی و اصل ماکزیمم آنتروپی تحت عنوان تئوری آنتروپی شanon نامیده می‌شود. واحد



شکل ۱- فلوچارت استخراج هیدروگراف واحد لحظه‌ای (۲۲)

برای زمان پیمایش (t) لحاظ نمود. در نتیجه آنتروپی شanon آن به فرم زیر نوشته می‌شود:

$$H(t) = - \int_0^{\infty} h(t) \ln[h(t)] dt \quad (2)$$

هدف تعیین ($h(t)$) از طریق بیشینه‌سازی ($H(t)$), با در نظر گرفتن قیود و اصل ماکزیمم آنتروپی می‌باشد. برای بیشینه‌سازی آنتروپی، $h(t)$ چنان باید استخراج شود که حداقل

توزیع احتمالاتی زمان پیمایش و آنتروپی شanon آن

در هر حوزه آبخیز، بر اساس توزیع بارش و خصوصیات حوزه می‌توان مجموعه نامحدودی از زمان‌های پیمایش تعریف نمود (۲۱). از آنجائیکه مقادیر زمان پیمایش از الگوی ثابتی پیروی نمی‌کنند می‌توان آن را به عنوان یک متغیر تصادفی در نظر گرفت. بنابراین در تئوری آنتروپی شanon می‌توان یک توزیع احتمالاتی

کاربرد می‌توان این توابع را به فرم‌های ساده زیر نیز بیان کرد:

c یک پارامتر تجربی است. رابطه (۴) بیانگر امید ریاضی مقادیر لگاریتمی زمان پیمایش یا میانگین زمان پیمایش در دامنه لگاریتمی و رابطه (۵) بیانگر گشتاور زمان پیمایش است.

$$\int_0^{\infty} \ln(t) h(t) dt = \bar{\ln t} \quad (4)$$

$$\int_0^{\infty} t^c h(t) dt = \bar{t^c} \quad (5)$$

بیشینه‌سازی آنتروپی

به منظور بیشینه‌سازی $H(t)$ ، می‌توان از اصل ماقزیم آنتروپی (POME) و روش ضرایب لاگرانژ استفاده و به صورت تابع لاگرانژین (LF) فرمول‌بندی نمود:

$$LF = - \int_0^{\infty} h(t) \ln[h(t)] dt - (\}{}_0 - 1) \left[\int_0^{\infty} h(t) dt - 1 \right] - \}{}_1 \left[\int_0^{\infty} \ln(t) h(t) dt - \bar{\ln t} \right] - \}{}_2 \left[\int_0^{\infty} t^c h(t) dt - \bar{t^c} \right] \quad (6)$$

با جایگذاری رابطه (۸) در معادله (۷) تابع چگالی احتمال زمان پیمایش (IUH) به صورت زیر حاصل می‌گردد:

$$h(t) = \exp[-\}{}_0 - \}{}_1 \ln t - \}{}_2 t^c] \quad (7)$$

$$\exp(\}{}_0) = \frac{\}{}_2^{\frac{1-\}{}_1}{c}}{c} \Gamma(\frac{1-\}{}_1}{c}) \quad (8)$$

$$h(t) = \frac{c \}{}_2^{\frac{1-\}{}_1}{c}}}{\Gamma(\frac{1-\}{}_1}{c})} \exp(-\}{}_1 \ln(t) - \}{}_2 t^c) = \frac{c \}{}_2^{\frac{1-\}{}_1}{c}}}{\Gamma(\frac{1-\}{}_1}{c})} t^{-\}{}_1} \exp(-\}{}_2 t^c) \quad (9)$$

که این رابطه معادله عمومی (IUH) بر اساس $h(t)$ را بیان نموده که هر سه پارامتر $\}{}_1$ ، $\}{}_2$ و c با استفاده از تئوری آنتروپی قابل تعیین می‌باشند (۲۱).

ناریبی درباره اطلاعات نامعین و بیشترین اریب درباره اطلاعات معین حاصل گردد.

از آنجائیکه $h(t)$ یک تابع چگالی احتمال است می‌توان $\int_0^{\infty} h(t) dt = 1$ لحاظ نمود و بیانگر این است که سطح زیر IUH برابر با واحد یا مقدار رواناب سطحی به ازای IUH واحد است. اگر $g_r(t)$ تابع زمان پیمایش به ازای $g_r(t)$ و $r = 1, 2, \dots, R$ امید ریاضی باشد آنگاه می‌توان نوشت:

$$\int_0^{\infty} g_r(t) h(t) dt = \bar{g_r(t)}, r = 1, 2, \dots, R \quad (3)$$

چنانچه $t = g_1(t)$ ، این رابطه بیانگر متوسط زمان پیمایش و اگر $(t - \bar{t})^2 = g_2(t)$ باشد بیانگر واریانس زمان پیمایش خواهد بود. جهت

در این رابطه $\}{}_0$ ، $\}{}_1$ و $\}{}_2$ ضرایب لاگرانژ که وابسته به قیودات تعریف شده در معادلات (۴) و (۵) می‌باشند. با انجام مشتق، حساب تغییرات و تغییر متغیر می‌توان به دو رابطه ذیل رسید:

$$(7)$$

$$(8)$$

که این رابطه معادله عمومی (IUH) بر اساس $h(t)$ را بیان نموده که هر سه پارامتر

$$\frac{\ln \{_2}{c}}{c} - \frac{1}{\Gamma(\frac{1-\{_1}{c}}{c})} \frac{\partial \Gamma(\frac{1-\{_1}{c}}{c})}{\partial \{_1}} = -\overline{\ln(t)} \quad (10)$$

$$\frac{\{_1}{c} - 1}{\{_2}{c}} = -t^c \quad (11)$$

$$-\frac{\{_1}{c} - 1}{\{_2}{c}^2} = -\overline{(t^c)^2} \quad (12)$$

با جایگذاری رابطه (۹) در رابطه (۲) آنتروپی (IUH) حاصل می‌شود:

$$H = -\ln(c) - \frac{1-\{_1}{c}}{c} \ln(\{_2}{c}) + \ln[\Gamma(\frac{1-\{_1}{c}}{c})] + \{_1}{c} \overline{\ln(t)} + \{_2}{c} \overline{t^c} \quad (13)$$

مبنای پارامترهای $\{$ و c قابل بیان خواهد بود:

و اگر رابطه (۱۱) در رابطه (۱۳) جایگزین شود، در این صورت آنتروپی (IUH) تنها بر

$$H = -\ln(c) - \frac{1-\{_1}{c}}{c} \ln(\frac{1-\{_1}{c}}{ct^c}) + \ln[\Gamma(\frac{1-\{_1}{c}}{c})] + \{_1}{c} \overline{\ln(t)} + \frac{\{_1}{c} - 1}{c} \quad (14)$$

آبشاری، $\Gamma(n)$ تابع گاما، n بیانگر زمان تاخیر از یک مخزن و t زمان می‌باشد.

کد کامپیوتري

با توجه به حجم محاسبات، جهت برآورد پارامترهای تابع چگالی (IUH) برنامه کامپیوتري در محیط 8 Mathematica نوشته شد. این برنامه ضرایب لاگرانژ را بر اساس بیشینه‌سازی تابع لاگرانژین، برآورد می‌نماید. پس از برآورد پارامترهای تابع چگالی (IUH) با استفاده از مقادير زمان پيمایش حوزه، هیدروگراف واحد لحظه‌ای حوزه ترسیم شده و پس از محاسبه هیدروگراف‌های رواناب مستقیم به ازای هر رویداد، نمودار مقایسه‌ای آنها در برابر هیدروگراف‌های مشاهداتی و نیز نمودار خطای مربوطه ترسیم می‌گردد و در نهايتم، مقدار آنتروپی و مقادير معيارهای خطای برای هر رویداد محاسبه می‌گردد. قبل ذكر است که برای بدست آوردن هیدروگراف‌های واحد

این معادله عمومی (IUH) دارای سه پارامتر $\{_1$ ، $\{_2$ و c است که با تغيير اين پارامترها می‌توان تغيير شكل (IUH) را ارزیابی نمود. با ثابت نگه داشتن پارامترهای ديگر محاسبه شده و نتایج حاصله ترسیم می‌شود.

روش هیدروگراف واحد ناش

با در نظر گرفتن $\{_2 = 1/k$ ، $c = \{_1/n$ و $n = (c - \{_1)/c$ رابطه (۹) به فرم زير تغيير می‌کند:

$$h(t) = \frac{1}{k\Gamma(n)} \left(\frac{t}{k} \right)^{n-1} \exp\left(-\frac{t}{k}\right) \quad (15)$$

كه اين رابطه همان رابطه استخراج شده توسط نش (۱۳) جهت توصيف (IUH) بر اساس مخازن خطی می‌باشد. اين رابطه رايچ ترین فرم از (IUH) مورد استفاده در هيدرولوژي است. در اينجا (IUH)، $h(t)$ ، آبشاری است که در آن، n بیانگر تعداد مخازن

رابطه خطی مثبت (افزایشی) بین دبی‌های محاسباتی و مشاهداتی، وابستگی بیشتر آنها و در نتیجه عملکرد بهتر مدل می‌باشد. محدوده جواب U نیز بین صفر تا بی نهایت تغییر می‌کند که هر چقدر مقدار آن به صفر نزدیکتر باشد، نشانگر اختلاف کمتر مقادیر دبی‌های محاسباتی از مشاهداتی، کمتر بودن خطای محاسباتی و در نتیجه قابلیت بالای مدل در تخمین مولفه‌های هیدروگراف رواناب مستقیم می‌باشد. ضریب ناش-ساتکلیف نیز بین منهای بی نهایت تا مثبت یک تغییر می‌کند و هرچقدر به یک نزدیک باشد بهتر خواهد بود.

حوزه و داده‌های مورد استفاده

حوزه آبخیز معرف لیقوان با وسعتی معادل ۷۶ کیلومتر مربع در استان آذربایجان شرقی در دامنه شمالی سهند مابین $۲۶^{\circ} ۴۶^{\circ}$ شرقی و $۵۰^{\circ} ۳۷^{\circ}$ شمالی گستردگی شده است. رودخانه لیقوان به عنوان زهکش اصلی حوزه مذکور بوده و جریانات خود را به رودخانه آجی‌چای تخلیه می‌کند. بلندترین نقطه حوزه با ارتفاع ۳۶۲۰ متر از سطح دریای آزاد در جنوب شرقی ارتفاعات سهند و پایین‌ترین نقطه آن با ارتفاع ۲۱۴۰ متر در محل ایستگاه هیدرومتری لیقوان می‌باشد. شکل حوزه به صورت کشیده، با فرکانس آبراهه‌ای $1/2$ ، ارتفاعی برابر ۳۶۷۵ متر و طولانی‌ترین شاخه اصلی حوزه در محل ایستگاه هیدرومتری لیقوان ۱۷ کیلومتر با شیب متوسط ۱۱ درصد است. در شکل (۲) موقعیت حوزه نشان داده شده است.

لحظه‌ای مشاهداتی نیز با استفاده از روش حداقل مربعات نیز از برنامه کامپیوترا نوشته شده در این محیط استفاده گردید.

معیارهای ارزیابی

جهت بررسی دقیق تر عملکرد هر دو روش آنتروپی و روش هیدروگراف واحد ناش در استخراج هیدروگراف‌های رواناب مستقیم، از چهار معیار عملکرد مختلف مطابق زیر استفاده گردیده است:

۱- ضریب همبستگی (CC)

$$CC = \sum_{i=1}^n \frac{(Q_{o_i} - \bar{Q}_o)(Q_{c_i} - \bar{Q}_c)}{\sqrt{\sum_{i=1}^n (Q_{o_i} - \bar{Q}_o)^2} \sqrt{\sum_{i=1}^n (Q_{c_i} - \bar{Q}_c)^2}} \quad (16)$$

۲- ضریب تیل (U)

$$U = \frac{\sqrt{\frac{1}{n} \sum_{i=1}^n (Q_{c_i} - Q_{o_i})^2}}{\sqrt{\frac{1}{n} \sum_{i=1}^n (Q_{c_i})^2} + \sqrt{\frac{1}{n} \sum_{i=1}^n (Q_{o_i})^2}} \quad (17)$$

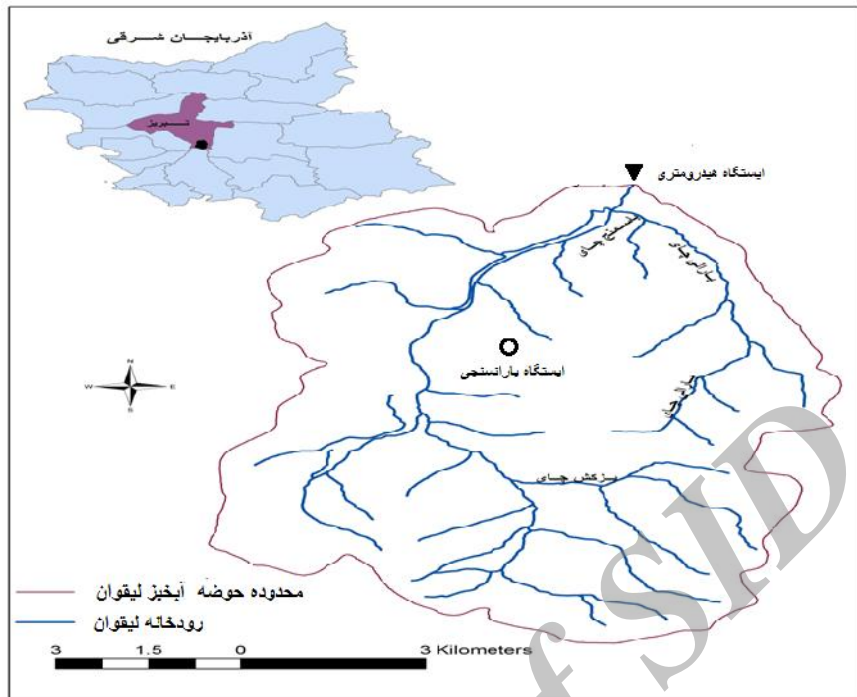
۳- شاخص آنتروپی (H)

$$H = - \int_0^\infty h(t) \ln[h(t)] dt \quad (18)$$

۴- ضریب ناش-ساتکلیف

$$NS = 1 - \frac{\sum_{i=1}^N (Q_{oi} - Q_{ci})^2}{\sum_{i=1}^N (Q_{oi} - \bar{Q}_{ci})^2} \quad (19)$$

که در آنها Q_{oi} و Q_{ci} به ترتیب i امین مولفه هیدروگراف رواناب مستقیم مشاهداتی و محاسباتی و n تعداد مولفه‌های هیدروگراف رواناب مستقیم و $h(t)$ تابع چگالی احتمال روش مربوطه می‌باشد. مقدار ضریب همبستگی هرچه به یک نزدیکتر باشد بیانگر



شکل ۲- موقعیت جغرافیایی حوزه آبریز لیقوان

ندارند (۲۱). بنابراین هر شش رویداد به منظور صحبت‌سنجی در روش آنتروپی مورد استفاده قرار گرفته‌اند.

داده‌های مورد استفاده در این تحقیق شش رویداد بشرح جدول (۱) می‌باشد. لازم به ذکر است که در (IUH) بر مبنای آنتروپی، هیچ یک از پارامترها نیاز به کالیبره شدن

جدول ۱- خصوصیات رویدادهای بارش- رواناب حوزه لیقوان

ردیف	رویداد	بارش (میلی‌متر)	مدت بارش (دقیقه)	រواناب (میلی‌متر)
۱	(۸۲/۳/۲)	۳/۶۷	۱۴۸	۰/۰۴
۲	(۸۲/۳/۳)	۶/۱۸	۱۶۳	۰/۴۳
۳	(۸۲/۳/۲۵)	۳/۲۹	۸۳	۰/۴۴
۴	(۸۲/۱۲/۱۶)	۱۲/۷۶	۷۳۸	۱/۳۵
۵	(۸۴/۲/۲۵)	۱۵/۷	۱۰۲۰	۰/۱۷
۶	(۸۴/۲/۲۶)	۳۱	۱۸۰	۰/۴۰

زمان پیمایش محاسبه شود. برای محاسبه زمان پیمایش هر نقطه تا خروجی حوزه فرض می‌شود که زمان پیمایش هر کدام از نقاط کسری از زمان تمرکز متناسب با فاصله و شب

نتایج و بحث
تخمین ضرایب لاگرانژ و تابع چگالی احتمال برای استخراج معادله (IUH) با استفاده از آنتروپی بر اساس قیود ذکر شده می‌بایست

رابطه (۲۰) معادله عمومی IUH برای حوزه آبخیز لیقوان می‌باشد که به ازای هر رویداد در دسترس می‌توان مولفه‌های هیدروگراف رواناب مستقیم رویداد مورد نظر را برآورد نمود.

شبیه‌سازی (IUH) با روش هیدروگراف واحد ناش

به دلیل استفاده مکرراز روش هیدروگراف واحد ناش در محاسبه (IUH), در این مطالعه نیز برای مقایسه محاسبات از این توزیع استفاده شده است. برای تخمین پارامترهای روش هیدروگراف واحد ناش از روش گشتاورها استفاده شده است (۳). در این روش ابتدا دو گشتاور زمان پیمایش $t = nk$ و $\bar{t}^2 = nk^2(n+1)$ محاسبه شده و سپس پارامترهای n و k روش هیدروگراف واحد ناش تعیین می‌شوند (جدول ۲).

نقاط است. در حوزه آبخیز لیقوان با توجه به کوچک بودن مساحت حوزه (۷۶ کیلومتر مربع) طول آبراهه ۱۵/۵ کیلومتر و شیب ۷/۵۱ درصد، زمان تمرکز بر اساس رابطه کرپیچ برابر با ۸۸/۴۴ دقیقه (معادل با ۱/۴۷ ساعت) حاصل می‌شود. جهت محاسبه زمان پیمایش تعدادی نقاط دلخواه در سطح حوزه انتخاب نموده و فاصله این نقاط تا خروجی حوزه و شیب مسیرها در امتداد جريان محاسبه می‌گردد. معادله (۹) متشكل از سه پارامتر $\{c_1, c_2, c\}$ است که مقادیر عددی این سه پارامتر با کمک معادلات (۱۰)، (۱۱) و (۱۲) و قیود (۴) و (۵) تعیین می‌شوند. با استفاده از کد نوشته شده، برای حوزه لیقوان $\{c_1 = ۰/۲۳۱, c_2 = ۱/۵, c = ۱/۵۱$ حاصل شده است. بر اساس این مقادیر و رابطه (۹)، $h(t)$ به فرم زیر خواهد بود:

$$h(t) = 0.139e^{-0.321t^{1.08}} t \quad (۲۰)$$

جدول ۲- پارامترهای n و k روش هیدروگراف واحد ناش برای رویدادهای بارش- رواناب حوزه لیقوان

فرمول	k	n	رویداد
	۰/۸۳۳	۴/۲	(۸۲/۳/۲)
$h(t) = 0.08e^{-0.688t} t^{2.5}$	۱/۴۵۳	۳/۵	(۸۲/۳/۳)
$h(t) = 0.227e^{-0.769t} t^2$	۱/۳	۳	(۸۲/۳/۲۵)
$h(t) = 0.24e^{-0.738t} t^{1.85}$	۱/۳۵۴	۲/۸۵	(۸۲/۱۲/۱۶)
$h(t) = 0.07e^{-1.11t} t^4$	۰/۹	۵	(۸۴/۲/۲۵)
$h(t) = 0.122e^{-0.625t} t^2$	۱/۶	۳	(۸۴/۲/۲۶)

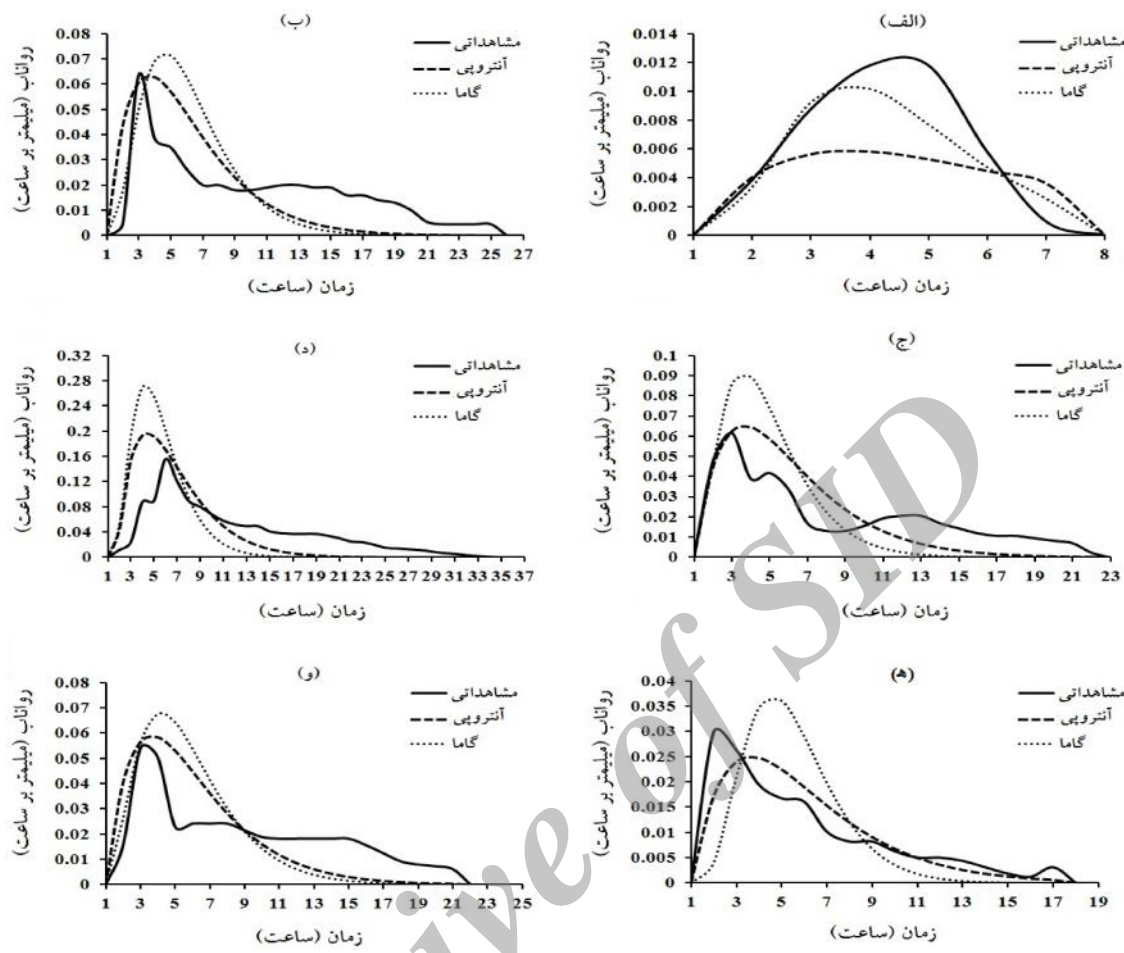
هر رویداد مقادیر هیدروگراف رواناب مستقیم برای هر شش رویداد حاصل می‌شود. مقادیر خطاهای دبی پیک و زمان پیک به ازای هر دو روش مطابق جدول (۳) می‌باشد. هیدروگراف رواناب مستقیم حاصل شده از روش آنتروپی در مقایسه با مقادیر مشاهداتی نتایج قابل قبولی

مقایسه نتایج آنتروپی و روش هیدروگراف واحد ناش

با استفاده از (IUH) حاصل شده از معادله (۹) (روش آنتروپی) و معادله (۱۵) (روش هیدروگراف واحد ناش) و با حاصل ضرب این IUH ‌های حاصل شده در مقادیر بارش اضافی

شاخه بالارونده از عملکرد پایینی برخوردار هستند. همچنین برای رویداد (و) می‌توان گفت در پیش‌بینی زمان اوج و شاخه بالارونده عملکرد هر دو روش مشابه یکدیگر و دارای اختلاف کمی نسبت به مقدار مشاهداتی بوده ولی در پیش‌بینی دبی پیک روش آنتروپی بهتر بوده است. در روش آنتروپی خطای دبی پیک در محدوده $1\% \text{ تا } 5\%$ و خطای زمان پیک $0\% \text{ تا } 200\%$ می‌باشد. به استثنای زمان پیک، دقت روش آنتروپی در تخمین هیدروگراف رواناب مستقیم قابل توجه است. برای (IUH) حاصل شده با استفاده از روش هیدروگراف واحد ناش برای هر رویداد پارامترهای n و k تخمین زده شده و هیدروگراف‌های رواناب مستقیم محاسبه شدند. مقادیر خطاهای دبی پیک و زمان پیک در جدول (۳) نشان داده شده است. اگرچه هیدروگراف رواناب مستقیم حاصل شده از روش هیدروگراف واحد ناش نیز قابل قبول است ولی دقت این روش به اندازه دقت روش آنتروپی نیست. در این روش خطای دبی پیک در محدوده $12\% \text{ تا } 72\%$ و خطای زمان پیک $0\% \text{ تا } 300\%$ می‌باشد. بررسی عملکرد روش آنتروپی و روش هیدروگراف واحد ناش با معیار ضریب همبستگی نشان می‌دهد که روش آنتروپی دارای دقت بالای نسبت به روش هیدروگراف واحد ناش است. بیشترین مقدار ضریب همبستگی برای روش آنتروپی مربوط به رویداد (۲۵/۲۴) و برای روش هیدروگراف واحد ناش رویداد (۲/۳۸) می‌باشد.

ارائه داده است. هیدروگراف‌های رواناب مستقیم محاسباتی و مشاهداتی برای هر شش رویداد در شکل (۲) نشان داده شده است. همانطور که در شکل (۳) مشاهده می‌شود هیچکدام از مدل‌ها نوسانات انتهایی را ندارند. نوسانات مشاهده شده در شاخه پایین رونده هیدروگراف واحد مشاهداتی در رویدادهای (ب)- (و) می‌تواند بدليل خطای اندازه‌گیری داده‌های طبیعی بارش- رواناب آن رویدادها، خطای جداسازی جریان پایه، خطای محاسبه مقدار تلفات و گیرش بارش و یا یکواخت نبودن بارش در مکان و زمان باشد. برای رویداد (الف) عملکرد روش هیدروگراف واحد ناش در برآورد دبی پیک نسبت به روش آنتروپی از دقت بالایی برخوردار است. همچنین عملکرد روش هیدروگراف واحد ناش در حفظ شکل هیدروگراف مشاهداتی تا حدودی بهتر از روش آنتروپی می‌باشد. برای رویداد (ب) روش آنتروپی موفق به تخمین صحیح دبی پیک شده است به طوریکه مقدار آن نزدیک به مقدار مشاهداتی است. هر دو روش شاخه بالارونده را بخوبی شبیه‌سازی نموده‌اند. در پیش‌بینی زمان اوج نیز روش آنتروپی عملکرد موفق‌تری داشته است. عملکرد هر دو روش در پیش‌بینی زمان اوج و شاخه بالارونده هیدروگراف رواناب مستقیم رویداد (ج) یکسان بوده ولی روش آنتروپی در پیش‌بینی دبی پیک رضایت بخش‌تر است. در مورد رویداد (د) و (ه) هر دو روش در پیش‌بینی دبی پیک، زمان اوج و



شکل ۳- مقایسه هیدروگراف‌های رواناب مستقیم مشاهداتی و محاسباتی با استفاده از روش آنتروپی و روش هیدروگراف واحد ناش الف: (۸۲/۳/۲)، ب: (۸۲/۳/۲)، ج: (۸۲/۳/۲۵)، د: (۸۲/۱۲/۱۶)، ه: (۸۴/۲/۲۵) و (۸۴/۲/۲۶)

واحد ناش برخوردار است. محدوده این معیار برای روش آنتروپی از $0/15$ تا $0/30$ و برای روش هیدروگراف واحد ناش در محدوده $0/13$ تا $0/41$ می‌باشد. در مقایسه بین دو روش، مقدار آنتروپی برای روش آنتروپی برابر با $2/47$ نات و برای روش هیدروگراف واحد ناش در محدوده $1/86$ تا $2/31$ نات است که با این مقایسه بین مقادیر آنتروپی می‌توان به این نتیجه رسید که IUH حاصل شده از روش آنتروپی بهتر و دقیق‌تر از روش هیدروگراف واحد ناش می‌باشد.

در این مطالعه به منظور بررسی عملکرد هر دو روش از معیار ضریب تیل نیز استفاده شده است. هرچقدر مقدار این ضریب به صفر نزدیک‌تر باشد بیانگر شبیه‌سازی بهتر و دقیق‌تر آن مدل می‌باشد. مقادیر ضریب تیل برای هر رویداد و هر دو روش آنتروپی و روش هیدروگراف واحد ناش در جدول ۳ ذکر شده است. با مشاهده نتایج می‌توان نتیجه گرفت که بر اساس این ضریب روش آنتروپی در شبیه‌سازی هیدروگراف رواناب مستقیم از عملکرد بالایی نسبت به روش هیدروگراف

جدول ۳- نتایج مقایسه‌ای حاصل از مدل آنتروپی و روش هیدروگراف واحد ناش در شبیه سازی هیدروگراف رواناب مستقیم

نash- ساتکلیف	آنتروپی (نات)	ضریب تیل	ضریب همبستگی	زمان پیک			دیجی اوج			رویداد
				خطا (%)	محاسباتی (ساعت)	مشاهداتی (ساعت)	خطا (%)	محاسباتی (میلی متر بر ساعت)	مشاهداتی (میلی متر بر ساعت)	
۰/۷۷	۲/۴۷	۰/۳۰	۰/۸۵۶	۰	۳	۳	۵۰/۵۱	۰/۰۰۵	۰/۰۰۵	آنتروپی
۰/۸۶۷	۱/۸۶	۰/۱۳	۰/۹۵۳	۰	۳	۳	۱۳/۵۷	۰/۰۱۰	۰/۰۱۱	هیدروگراف واحد ناش (۸۲/۳/۲)
۰/۶۶۵	۲/۴۷	۰/۲۹	۰/۷۵۱	۵۰	۳	۲	۱/۱۷	۰/۰۶۲	۰/۰۶۲	آنتروپی
۰/۶۴	۲/۳۱	۰/۳۳	۰/۷۲۶	۱۰۰	۴	۲	۱۲/۴۲	۰/۰۷۱	۰/۰۶۳	هیدروگراف واحد ناش (۸۲/۳/۳)
۰/۷۷۸	۲/۴۷	۰/۲۲	۰/۸۶۴	۵۰	۳	۲	۲/۹۶	۰/۰۶۴	۰/۰۶۴	آنتروپی
۰/۷۸۶	۲/۱۰	۰/۲۹	۰/۸۷۲	۵۰	۳	۲	۴۵/۲۱	۰/۰۸۹	۰/۰۶۱	هیدروگراف واحد ناش (۸۲/۳/۲۵)
۰/۷۱۲	۲/۴۷	۰/۳۰	۰/۷۹۸	۴۰	۳	۵	۲۳/۹۰	۰/۱۹۲	۰/۱۵۵	آنتروپی
۰/۶۱۲	۲/۱۱	۰/۴۱	۰/۶۹۸	۴۰	۳	۵	۷۲/۸۴	۰/۲۶۸	۰/۱۵۵	هیدروگراف واحد ناش (۸۲/۱۲/۱۶)
۰/۸۰۷	۲/۴۷	۰/۱۵	۰/۸۹۳	۲۰۰	۳	۱	۱۶/۷۳	۰/۰۲۴	۰/۰۲۹	آنتروپی
۰/۵۵۴	۲/۰۴	۰/۳۳	۰/۶۴۰	۳۰۰	۴	۱	۲۱/۰۶	۰/۰۳۶	۰/۰۲۹	هیدروگراف واحد ناش (۸۴/۲/۲۵)
۰/۷۲۵	۲/۴۷	۰/۲۵	۰/۸۱۱	۵۰	۳	۲	۷/۸۸	۰/۰۵۸	۰/۰۵۴	آنتروپی
۰/۷۰۸	۲/۳۱	۰/۲۸	۰/۷۹۴	۵۰	۳		۲۴/۵۸	۰/۰۶۷	۰/۰۶۷	هیدروگراف واحد ناش (۸۴/۲/۲۶)

یک و در روش هیدروگراف واحد ناش بزرگتر از یک می‌باشد و این نوع تفاوت در روابط حاصله می‌تواند بطور غیرمستقیم در هیدروگراف محاسباتی تاثیر داشته باشد. در اغلب موارد روش آنتروپی برآورد قابل قبولی در تخمین دبی و زمان اوج و شاخه بالارونده هیدروگراف رواناب مستقیم در اکثر رویدادها نشان داده است. هیچ یک از مدل‌ها نتوانسته اند نوسانات مشاهده شده در شاخه پایین رونده هیدروگراف واحد مشاهداتی را به خوبی مدل کنند.

برای هر رویداد مقادیر حجم محاسباتی به ازای هر دو روش آنتروپی و روش هیدروگراف واحد ناش برآورد گردیده و با مقادیر مشاهداتی مقایسه شده است. نتایج حاصل از این مقایسه در جدول ۴ ذکر شده است. با توجه به جدول ۴ مشاهده می‌شود که روش هیدروگراف واحد ناش در تخمین حجم کل رواناب برای رویدادهای (۸۲/۳/۲)، (۸۲/۳/۳)، (۸۲/۱۲/۱۶) و (۸۴/۲/۲۶) نسبت به روش آنتروپی عملکرد بهتری دارد. پارامتر زمان تابع چگالی احتمال زمان پیمایش در روش آنتروپی دارای توان

جدول ۴- میزان حجم مشاهداتی و محاسباتی رواناب حوزه لیقوان

هیدروگراف واحد ناش		آنتروپی		مشاهداتی (میلی متر بر ساعت)	رویداد (میلی متر بر ساعت)
خطای نسبی (%)	محاسباتی (میلی متر بر ساعت)	خطای نسبی (%)	محاسباتی (میلی متر بر ساعت)		
-۱۱/۹۲	۰/۰۳۷	-۳۲/۵۶	۰/۰۲۸	۰/۰۴۲	(۸۲/۳/۲)
-۰/۷۴	۰/۴۳۰	-۱/۹۷	۰/۴۲۴	۰/۴۳۳	(۸۲/۳/۳)
۰/۸۶	۰/۴۳۹	-۰/۲۷	۰/۴۳۴	۰/۴۳۵	(۸۲/۳/۲۵)
۰/۰۲۵	۱/۳۴۶	-۰/۸۶	۱/۳۳۴	۱/۳۴۵	(۸۲/۱۲/۱۶)
۳/۰۶	۰/۱۷	۱/۰۴	۰/۱۶۶	۰/۱۶۴	(۸۴/۲/۲۵)
-۱/۴۴	۰/۳۹۹	-۲/۶۶	۰/۳۹۴	۰/۴۰۵	(۸۴/۲/۲۶)

این روش به طور رضایت بخشی منجر به تولید هیدروگراف‌های رواناب مستقیم می‌شود. در تحقیق انجام یافته توسط سینگ (۲۱) نیز قابلیت روش آنتروپی در استخراج هیدروگراف واحد لحظه‌ای با استفاده از روش آنتروپی در دو حوزه واقع در نبراسکا نشان داده شده است. بر اساس بررسی‌های انجام یافته، مطالعه مشابهی در داخل کشور با روش آنتروپی انجام نگردیده و نتیجه‌گیری بهتر و دقیق‌تر مستلزم مطالعه حوزه‌ها و رویدادهای بیشتر در شرایط مختلف زمانی و شرایط اقلیمی می‌باشد.

این امر می‌تواند بدلیل خطاهایی از جمله اندازه‌گیری داده‌ها، جداسازی جریان پایه، محاسبه مقدار تلفات و گیرش بارش و یا ضعف روابط حاصله از روش آنتروپی و هیدروگراف واحد ناش باشد. در حالت کلی برتری تئوری آنتروپی در استخراج معادله (IUH)، ارائه یک معادله عمومی برای هیدروگراف واحد لحظه‌ای بر اساس اطلاعات محدود معین شده است. به طوریکه این اطلاعات را می‌توان از داده‌های معمولی قابل دسترس همانند شب، طول و مساحت به دست آورد. معادله (IUH) حاصل از

منابع

1. Bhunya, P.K., S.K. Mishra, C.S.P. Ojha and R. Berndtsson. 2004. Parameter estimation of beta distribution for unit hydrograph derivation, Journal of Hydrologic Engineering, 9(4): 325-332.
2. Crowley, T.E. 1980. Gamma synthetic hydrographs, Journal of Hydrology. 47(1-2): 41-52.
3. Dooge, J.C.I. 1959. A general theory of the unit hydrograph, Journal of Geophysical Research. 64(2): 241-256.
4. Dooge, J.C.I. 1973. Linear theory of hydrologic systems, Tech. Bulletin No. 1468. Washington, D.C.: USDA Agricultural Research Service.
5. Gray, D.M. 1961. Synthetic hydrographs for small drainage basins, Journal Hydraulics Div. ASCE, 87(4): 33-54.
6. Gupta, V.K. and E. Waymire. 1983. On the formulation of an analytical approach to hydrologic response and similarity at the basin scale, Journal of Hydrology, 65(1-3): 95-123.

7. Hao, Z. and V.P. Singh. 2011. Single-site monthly streamflow simulation using entropy theory. *Water Resources Research*, Vol. 47, DOI: 10.1029/2010WR010208.
8. Harmancioglu, N.B. and V.P. Singh. 1998. Entropy in environmental and water resources. In *Encyclopedia of Hydrology and Water Resources*, 225-241. R.W. Hershey and R.W. Fairbridge, eds. Boston, Mass. Kluwer Academic.
9. Jain, A., S. Srinivasulu and R. Bhattacharya. 2005. Determination of an optimal unit pulse response function using real-coded genetic algorithm. *Journal of Hydrology*, 303: 199-214.
10. Karamouz, M. and S. Araghinejad. 1389. *Advanced Hydrology*. AmirKabir publishers. 468 pp.
11. Nadarajah, S. 2007. Probability models for unit hydrograph derivations, *Journal of Hydrology*, 344(3-4): 185-189.
12. Nash, J.E. 1957. The form of the instantaneous unit hydrograph, In IAHS Publication 45: 114-121. International Association of Hydrological Sciences. Available at: <http://iahs.info/redbooks/a045/045011.pdf>.
13. Nash, J.E. 1958. Determining runoff from rainfall, Proc. Institution of Civil Engineers 10: 163-184.
14. Rai, R.K., S. Sarkar and H.G. Gundekar. 2008. Adequacy of two-parameter beta distribution functions for deriving unit hydrograph, *Hydrology Research*, 39(3): 201-208.
15. Rodriguez-Iturbe, I. and J.B. Valdes. 1979. The geomorphologic structure of hydrologic response, *J. Water Resources Research*, 15(6): 1409-1420.
16. Shannon, C.E. 1948. A mathematical theory of communication: I and II, *Bell System Tech. J.* 27: 379-423.
17. Singh, V.P. 1988. *Hydrologic Systems*, Vol. 1: Rainfall-Runoff Modeling. Englewood Cliffs, N.J.: Prentice Hall.
18. Singh, V.P. and M. Fiorentino, eds. 1992. *Entropy and Energy Dissipation in Water Resources*. Dordrecht, The Netherlands: Kluwer Academic.
19. Singh, V.P. 1997. The use of entropy in hydrology and water resources, *Hydrological Process*, 11(6): 587-626.
20. Singh, V.P. 2010. Entropy theory for movement of moisture in soils, *Water Resources Research* Vol. 46, W03516, 12 pp.
21. Singh, V.P. 2011. An IUH equation based on entropy theory, *American Society of Agricultural and Biological Engineers* 54(1).
22. Snyder, F.F. 1938. Synthetic unit graphs, *Trans. American Geophysical Union* 19: 447-454.
23. Taylor, A.B. and H.E. Schwarz. 1952. Unit hydrograph lag and peak flow related to basin characteristics, *Trans. American Geophysical Union*, 33: 235-246.
24. Yue, S., B.M.J. Taha, B. Bobee, P. Legendre and P. Bruneau. 2002. Approach for describing statistical properties of flood hydrograph, *Journal of Hydrologic Engineering*, 7(2): 147-153.

Derivation of Instantaneous Unit Hydrograph (IUH) using the Shannon Entropy Theory

Mohammad Ali Ghorbani¹, Hakimeh Asadi², Hossein Jabbari Khamneh³ and Davoud Farsadizadeh⁴

1- Associate Professor, University of Tabriz (Corresponding author: ghorbani@tabrizu.ac.ir)

2, 3 and 4- M.Sc. Student, Assistant Professor and Associate Professor, University of Tabriz

Received: April 17, 2013

Accepted: September 30, 2013

Abstract

Instantaneous unit hydrograph (IUH) is a hydrograph that has used for calculation of direct runoff hydrograph in watersheds and recent addition to formal methods, Shannon entropy theory consider for calculation of direct runoff hydrograph. If the system disorderly is measured in terms of entropy then the probability distribution of the events, provides in terms of entropy. In this theory, defined travel time as a random variable, the maximizing the entropy on based this parameter and also specifies constraints, the least-biased probability density function, determining parameters of the IUH and finally obtaining applicable IUH equation. In this study, six events of Lighvan watershed has been studied that located in Northwest Iran. After calculating travel time and determining parameters on based entropy, derivation applicable IUH equation and calculated direct runoff hydrograph. For estimated and more evaluated IUH and direct runoff hydrograph has used Gamma distribution that result showed good accuracy of the entropy theory. The results indicate acceptable performance of the entropy model shows the average correlation coefficient (0.828), mean error of peak (17.35%), entropy index (2.47 knot) and nash-sutcliff value (NS=0.742) in verification events.

Keywords: Instantaneous unit hydrograph, Shannon entropy, Gamma distribution, Lighvan watershed